

بررسی حذف همزمان رنگزای بازی نارنجی ۲ و نیکل (II) از محلول‌های آبی در حضور نانورس اصلاح‌شده در سامانه شویش پیوسته با به کارگیری روش سطح‌پاسخ (RSM)

آرمین گروئیان^۱، علی نیازی^{۲*} و الهه کنو^۳

۱. دانشجوی دکتری شیمی تجزیه، گروه شیمی، واحد اراک، دانشگاه آزاد اسلامی، اراک، ایران.
۲. استاد شیمی تجزیه، گروه شیمی، واحد تهران مرکزی، دانشگاه آزاد اسلامی، تهران، ایران.
۳. دانشیار شیمی تجزیه، گروه شیمی، واحد تهران مرکزی، دانشگاه آزاد اسلامی، تهران، ایران.

دربافت: آبان ۱۴۰۰ بازنگری: آذر ۱۴۰۰ پذیرش: آذر ۱۴۰۰



10.30495/JACR.2022.698061



20.1001.1.17359937.1401.16.3.9.5

چکیده

در پژوهش حاضر، حذف رنگ بازی نارنجی ۲ (BO2) و نیکل (II) از محلول‌های آبی با نانورس مونتموریلوئیت (MMT) اصلاح‌شده مطالعه شد. برای تعیین ویژگی‌های جاذب، روش‌های EDS-Mapping و FESEM به کاربرده شد. فرایند حذف آلاینده‌ها از راه طراحی و ساخت ستون شویش پیوسته بررسی شد و اثر متغیرهای مؤثر بر فرایند شامل غلظت رنگ و نیکل (II)، pH، طول ستون و تعداد دفعه‌های شویش ارزیابی شد. روش طراحی آزمایش سطح‌پاسخ (RSM) با استفاده از طرح مرکب مرکزی (CCD) برای بررسی اثر عامل‌های آزمایشگاهی بر فرایند حذف همزمان BO2 و نیکل (II) در سامانه پیوسته به کاربرده شد و برهم‌کنش متغیرها با نمودارهای سطح‌پاسخ مطالعه شد. با توجه به نتیجه‌های RSM و بهینه‌سازی حذف همزمان حذف رنگزای بازی نارنجی ۲ و نیکل (II) با به کارگیریتابع مطلوب‌بودن، مقادیر بهینه برای پنج متغیر غلظت رنگ، غلظت فلز، pH، طول ستون و تعداد چرخه‌های شویش به ترتیب برابر با 12.97 cm^1 ، 12.07 mg l^{-1} ، 12.97 mg l^{-1} ، $8/18$ و ۲ بار شویش به دست آمده است. نتیجه‌های حذف رنگزای BO2 و نیکل (II) در سامانه شویش پیوسته با نانورس مونتموریلوئیت اصلاح‌شده نشان داد که این روش می‌تواند برای جذب آلاینده‌ها از محلول‌های آبی کارآمد باشد.

واژه‌های کلیدی: نانورس مونتموریلوئیت، بازی نارنجی ۲، نیکل (II)، روش سطح‌پاسخ، سامانه شویش پیوسته

سازگار با محیط‌زیست به دلیل ویژگی‌هایی همچون ظرفیت جذب بالا، پایداری مکانیکی و شیمیایی بالا، ساختار خاص بلوری و سطح ویژه بالا و همچنین، قیمت پایین، به طور گسترده برای حذف فلزهای سنگین و آلاینده‌های آلی استفاده می‌شوند و به دلیل فراوانی، از گرینه‌های مطلوب برای استفاده به عنوان جاذب صنعتی و یا پایه هستند [۱۴ تا ۱۶]. از میان انواع متفاوت رس، نانورس مونتموریلوئیت^۴ (MMT) به دلیل ساختار لایه‌ای، مساحت سطح ویژه بالا، ظرفیت تبدیل کاتیون بالا و حضور فراوان در بیشتر خاک‌ها کاربرد بیشتری پیدا کرده است. این جاذب‌های رسی می‌توانند با موفقیت در مقیاس صنعتی برای پاکسازی پساب فرایندهای رنگ‌دار به کارروزنه، چون مولکول‌های رنگزا و فلزهای سنگین تمایل زیادی برای جذب بر سطوح این جاذب‌ها نشان می‌دهند [۱۴ و ۱۷ تا ۱۹]. نتیجه‌های مطالعه‌های گوناگون در حذف رنگ و فلزهای سنگین نشان داد که MMT حتی از ظرفیت جذب بالاتری نسبت به سایر جاذب‌ها برخوردار است. همچنین، فرایند اصلاح سطح و فعال‌سازی آن آسان‌تر و در مقابل بسیاری از جاذب‌ها مانند کربن فعال بسیار کم‌هزینه‌تر است [۱۷ و ۱۹ تا ۲۲]. روش طراحی آزمایش سطح‌پاسخ (RSM^۵) از جمله روش‌های بهینه‌سازی است که شامل مجموعه‌ای از روش‌های ریاضی و آماری برای مدل‌سازی یک فرایند است که در آن بین پاسخ و متغیرهایی که خروجی فرایند را تحت تأثیر قرار می‌دهند، ارتباط برقرار می‌شود [۲۳ و ۲۴]. از طرح‌های روش RSM می‌توان به طرح مرکب مرکزی (CCD^۶) اشاره کرد [۲۵ و ۲۶]. به کمک این طرح آماری، تعداد آزمایش‌ها کاهش می‌یابد و کلیه ضرایب مدل وایارش^۷ و اثر عامل‌ها قابل برآورد هستند. RSM با طرح مرکب مرکزی در مطالعه‌های بسیاری برای ارزیابی و بهینه‌سازی می‌شود [۱۳ و ۱۴]. جاذب‌های رسی به عنوان مواد طبیعی

مقدمه

صنعت نساجی از جمله صنایع فعال در دنیا است که به عنوان یک بخش پر مصرف آب؛ در گروه آلوهه‌ترین پساب‌های صنعتی گروه‌بندی می‌شود. پساب نساجی حاوی مواد شیمیایی گوناگون مانند رنگ‌ها، فلزهای سنگین، سطح‌فعال‌ها، کلریدها و سولفات‌های هستند که تأثیر منفی بر کیفیت آب می‌گذارند. سالانه بیش از ۱۰۰۰۰ رنگ تجاری با تولید بالغ بر 7×10^5 تن به بازار عرضه می‌شود که کاربرد وسیعی در صنایع متفاوت به خود اختصاص می‌دهند [۱ و ۲]. رنگ‌های گوناگون که به صورت پساب وارد محیط‌زیست می‌شوند به دلیل پایداری گرمایی و نوری بالا، برای دوره‌های زمانی به نسبت طولانی در محیط باقی مانده و سبب ایجاد مشکل‌های زیست‌محیطی می‌شوند. فلزهای سنگین موجود در این پساب‌ها مانند Cd, Cr, Cu, Mn, Ni, Pb و Zn نیز جزء آلاینده‌های پایدار و غیرقابل تجزیه زیستی هستند که در مقدارهای بالاتر از حد مجاز می‌توانند سمی و خطرناک باشند. بنابراین، واپاپیش این پساب‌ها و کاهش میزان آلاینده‌ها همواره مورد توجه است [۳ تا ۵]. رنگ‌زایی بازی نارنجی ۲ (BO₂^۸) که با نام کریسویدین نیز شناخته می‌شود؛ یک رنگ بازی است که دارای یک گروه آزو (—N=N—) در ساختار خود است و با توجه به کاربرد آن به ویژه در صنایع نساجی، سبب بروز آلوهگی و ایجاد سمیت می‌شود [۶ و ۷]. روش‌های فیزیکی، شیمیایی و زیستی متفاوتی از جمله تصفیه زیستی، اسمز معکوس، رسوب‌دهی، صافش^۹، فرایندهای غشایی، تبدیل یون، فرایندهای الکتروشیمیایی و فرایند جذب برای حذف آلاینده‌های رنگی و فلزهای سنگین از پساب وجود دارند [۸ تا ۱۲] که در این میان فرایند جذب به عنوان روشنی کارآمد و اقتصادی شناخته می‌شود [۱۳ و ۱۴]. جاذب‌های رسی به عنوان مواد طبیعی

1. Basic Orange 2

2. Chrysoidine

3. Filtration

4. Montmorillonite (MMT) nanocla

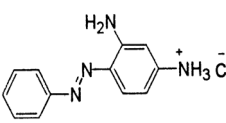
5. Response surface method (RSM)

6. Central Composite Design (CCD)

7. Regression

برای همه محلول‌ها، از آب مقطور به عنوان حلال استفاده شده است.

جدول ۱ ویژگی‌های رنگزای بازی نارنجی ۲

ساختار شیمیایی	فرمول شیمیایی	λ_{\max} (nm)	وزن مولکولی (g mol ⁻¹)
	C ₁₂ H ₁₃ ClN ₄	۴۵۳	۲۴۸,۷۱

دستگاه‌ها

دستگاه گریزانه مدل 320 Hettich, Universal برای جداسازی و تنهیتی ذره‌های معلق در محلول، آون مدل XY-1400S برای خشک کردن جاذب، ترازوی رقمی مدل AEA با دقت g ± ۰.۰۰۰۱ برای اندازه‌گیری وزن نمونه رنگ و pH متر مدل 713 Metrohm، برای اندازه‌گیری pH محلول به کار گرفته شدند. برای بررسی نمونه‌های رنگزای، دستگاه طیف‌نورستخ (UV-Visible) مدل Lambda 25، Perkin Elmer حاوی Ni(II)، دستگاه طیف‌نورستخ جذب اتمی مدل PG 990 به کار گرفته شد. میکروسکوپ الکترونی روبشی گسیل میدانی (FESEM) مدل TESCAN، MIRA3، ساخت چک مجهز به دستگاه SAMx ساخت کشور فرانسه برای تجزیه عنصری با روش EDX-Mapping برای شناسایی و بررسی فرایند جذب آلاینده‌ها بر نمونه‌های نانورس اصلاح شده به کار گرفته شدند.

اصلاح سطح نانورس موتتموریلوئیت به عنوان جاذب برای حذف رنگزای آزوی بازی نارنجی ۲ و فلز نیکل (II) انجام شد. برای اصلاح سطح قلیایی نانورس

فرایند حذف رنگ و فلزهای سنگین از پساب به کار گرفته شده است [۲۵].

در این پژوهش، حذف هم زمان رنگزای آزوی بازی نارنجی ۲ و فلز نیکل (II) به عنوان آلاینده، با استفاده از جاذب نانوموتتموریلوئیت اصلاح شده و به کار گیری یک سامانه شویش پیوسته مطالعه شد. ساختار و عملکرد جاذب با روش‌های میکروسکوپ الکترونی روبشی گسیل میدانی (FESEM^۱) و تجزیه عنصری با روش نقشه‌نگاری طیف‌سنگی تفکیک انرژی (EDS-Mapping^۲) بررسی شد. برای بهینه‌سازی فرایند حذف هم زمان رنگزای بازی نارنجی ۲ و نیکل (II) در سامانه شویش پیوسته از روش RSM و طرح CCD استفاده شد و کارایی جذب و حذف آلاینده‌ها در ستون شویش ارزیابی شد.

بخش تجربی

مواد شیمیایی مورد استفاده

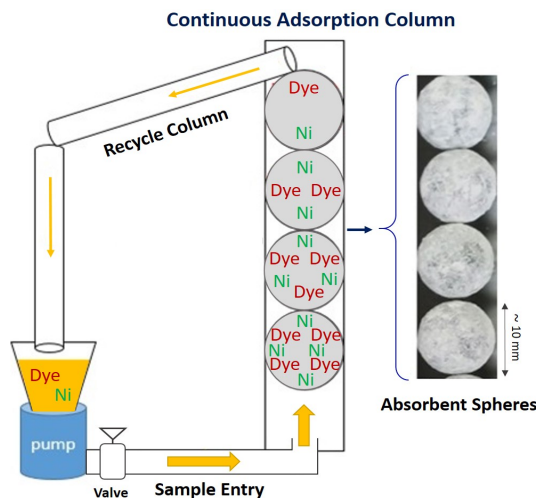
جادب نانورس موتتموریلوئیت از شرکت تماد کالا تهیه شد. رنگزای بازی نارنجی ۲ (BO2) با خلوص بالای آزمایشگاهی از شرکت الوان ثابت تهیه شد که ویژگی‌های آن در جدول ۱ نشان داده شده است. از نمک نیکل (II) نیترات (Ni(NO₃)₂.10H₂O)، سدیم هیدروکسید (NaOH) و هیدروکلریک اسید (HCl) برای تنظیم pH محلول‌ها، همچنین، از سدیم هیدروکسید (NaOH) در فرایند اصلاح سطح نانورس موتتموریلوئیت استفاده شد که همگی ساخت شرکت مرک آلمان بودند. برای تهیه محلول‌های مورد نظر با غلظت‌های متفاوت از آلاینده‌ها، در ابتدا محلول‌های ۱۰۰۰ میلی‌گرم بر لیتر از رنگزای بازی نارنجی ۲ و نیکل (II) تهیه شد. سپس، از محلول مادر برای تهیه سایر غلظت‌های موردنظر پساب مصنوعی استفاده شد. شایان ذکر است که

1. Field Emission Scanning Electron Microscope (FESEM)

2. Energy-dispersive X-ray spectroscopy (EDX)-mapping

سال شانزدهم، شماره ۳، پاییز ۱۴۰۱

نشریه پژوهش‌های کاربردی در شیمی (JARC)



شکل ۲ طرحواره ستون فرایند شویش پیوسته

روش کار در سامانه شویش پیوسته برای شویش پیوسته نمونه حاوی آنالیت رنگ و یون نیکل (II)، فرایند پیوسته‌ای طراحی شد به‌گونه‌ای که نمونه حاوی آنالیت‌های رنگ و یون فلز با پمپ مستقر در زیر ظرف نمونه از پایین به درون ستون استخراج وارد و پس از برخورد با گوی‌های پوشش‌اندود جاذب از بالای ستون خارج و دوباره وارد ظرف نمونه می‌شوند (شکل ۲). این چرخه به‌طور پیوسته دو بار تکرار شد. در طی برخورد نمونه و گوی‌های جاذب-اندود، آنالیت‌های رنگ‌زای بازی نارنجی ۲ و فلز نیکل (II) موجود در نمونه، جذب جاذب می‌شدند. برای بررسی بازده حذف آنالیت‌های موردنظر، نمونه پس از هر شویش با طیف-سنجدی UV-Vis برای تعیین گونه آنالیت رنگ‌زا در طول موج بیشینه و همچنین، طیف‌سنجدی جذب اتمی برای تعیین مقدار آنالیت نیکل به کارگرفته شدند. درصد حذف آنالیت‌ها با معادله ۱ تعیین شدند.

$$(1) \quad \text{درصد حذف (رنگ یا فلز)} = \frac{(C_0 - C_t)}{C_0} \times 100$$

مونتموریلوئیت، مقدار ۲۵ گرم از نانورس به ۲۵۰ میلی‌لیتر از محلول ۱ مولار سدیم هیدروکسید افزوده و به مدت ۲ ساعت در دمای ۸۰ °C بازروانی شد. سپس، این محلول دوغابی به مدت ۲۴ ساعت در دمای محیط خنک شد و سپس عمل صافش برای جداسازی نانوجاذب از نانورس فراورده شد. فراینده ۴ ساعت در داخل آون با دمای ۱۲۰ °C خشک شد. فراینده به کارگیری در ستون شویش برای حذف رنگ‌زای آزوی بازی نارنجی ۲ و فلز نیکل (II) به کارگرفته شد.

طراحی ستون شویش پیوسته ستون استخراج شیشه‌ای که فرایند بر جذب (حذف) آنالیت‌های رنگ و فلز در آن صورت می‌گیرد به صورت عمودی طراحی و توسط کارگاه شیشه‌گری ساخته شد. برای تهیه بستر جذب، از گوی‌های شیشه‌ای کوچک (کره‌های شیشه‌ای) به قطر ۱۰ میلی‌متر استفاده شد و سطح آن‌ها با جاذب نانومونتموریلوئیت اصلاح شده پوشش داده شد، به‌گونه‌ای که همه بستر کروی گوی‌ها با جاذب مربوط پوشیده شد. سپس گوی‌های جاذب‌اندود داخل ستون قرار گرفتند. بدین ترتیب ستون شویش با طول ۱۵ سانتی‌متر با کارکرد پیوسته آماده‌سازی شد. در شکل ۱ گوی‌های جاذب‌اندود نشان داده شده است. همان‌طور که در شکل ۲ مشاهده می‌شود، نمونه‌های حاوی آلاینده‌ها با پمپ به درون ستون حاوی گوی‌های جاذب‌اندود وارد و فرایند شویش به صورت پیوسته صورت می‌پذیرفت.



شکل ۱ گوی‌های جاذب‌اندودشده در پژوهش حاضر

طرح مرکب مرکزی نشان داده شده است. همچنین، بررسی‌های متفاوت برپایه روش CCD از قبیل تحلیل وردایی (ANOVA)، مدل‌سازی و ترسیم نمودارهای سطح‌پاسخ در نرم‌افزار Design Expert ارزیابی شد.

جدول ۲ تعریف عامل‌ها و سطوح آن‌ها برای طراحی آزمایش به روش CCD

سطح متغیر کدگذاری شده			نماد	متغیر
-1	+	+1		
۷/۰۲	۹/۹۹	۱۲/۹۷	X ₁	(mg l ⁻¹) ^۱ غلظت رنگزا
۷/۰۲	۹/۹۹	۱۲/۹۷	X ₂	(mg l ⁻¹) ^۱ (II) غلظت نیکل
۵/۸۱	۶/۹۹	۸/۱۸	X ₃	pH
۷/۰۲	۹/۹۹	۱۲/۹۷	X ₄	طول ستون شویش (cm)
-	-	-	X ₅	تعداد چرخه‌های انجام فرایند شویش

نتیجه‌ها و بحث اثر اصلاح سطح جاذب

برای افزایش کارایی جاذب در حذف آلاینده‌ها و افزایش برهمنکش‌های مؤثر میان جاذب و آنالیت‌ها، از یک روش آسان و بدون نیاز به مواد و روش‌های پیچیده برای اصلاح سطح قلیایی نانوجاذب موتتموریلوبنیت به عنوان یک جاذب معدنی برای حذف رنگزای بازی نارنجی ۲ و فلز نیکل (II) استفاده شد. با اصلاح سطح در محیط بازی، یون‌های هیدروکسیل (OH⁻) بر سطوح فعال جاذب قرار می‌گیرند. با افزایش بار منفی سطح از راه جاذبه الکترواستاتیک، جذب رنگزای کاتیونی بازی نارنجی ۲ و نیکل (II) افزایش می‌یابد.

بررسی و شناسایی ویژگی‌های جاذب و فرایند جذب آلاینده‌ها برآن

برای ریختشناسی سطح جاذب پس از جذب آلاینده‌ها، تصویرهای FESEM از نانورس اصلاح شده پیش و پس از حذف آلاینده‌ها تهیه شد. تصویر FESEM برای نانورس اصلاح شده نشان می‌دهد که جاذب تخلخلی ناهمگن

که در آن، C₀ غلظت آنالیت (رنگ یا نیکل (II)) در نمونه اولیه و C_t غلظت آنالیت (رنگ یا نیکل (II)) در نمونه پس از هر شویش است.

طراحی آزمایش به روش سطح‌پاسخ برای کاهش تعداد آزمایش‌ها و بالابردن بازده حذف همزمان رنگزای بازی نارنجی ۲ و نیکل (II) روش طراحی آزمایش به شیوه سطح‌پاسخ (RSM) و نرم‌افزار Design Expert 10 به کارگرفته شدند. در این طراحی آزمایش با استفاده از طرح مرکب مرکزی (CCD)، ۴۲ آزمایش طراحی شد (جدول ۳). تعداد آزمایش‌ها از معادله ۲ به دست آمد.

$$N = 2^k + 2k + C_p \quad (2)$$

که در آن، N تعداد آزمایش‌ها، k تعداد عامل‌ها و C_p تعداد تکرار در نقطه مرکزی است.

عامل‌های موردنظر در این طراحی شامل غلظت رنگزا (X₁) بر حسب میلی‌گرم بر لیتر، غلظت فلز (X₂) بر حسب میلی‌گرم بر لیتر، pH (X₃)، طول ستون شویش (X₄) بر حسب سانتی‌متر و تعداد چرخه‌های انجام فرایند شویش (X₅) بودند که به عنوان عامل‌های اصلی (متغیرهای مستقل) در طراحی آزمایش‌ها ارزیابی شدند. لازم به ذکر است که چهار متغیر اول شامل عامل‌های کمی و تعداد چرخه‌های شویش به عنوان متغیر کیفی در نرم‌افزار معرفی شدند. هر یک از متغیرهای پاسخ برای درصد حذف رنگ (Y₁) و درصد حذف نیکل (Y₂) در قالب مدل وایازش چندجمله‌ای به صورت تابعی از متغیرهای مستقل ارایه شدند.

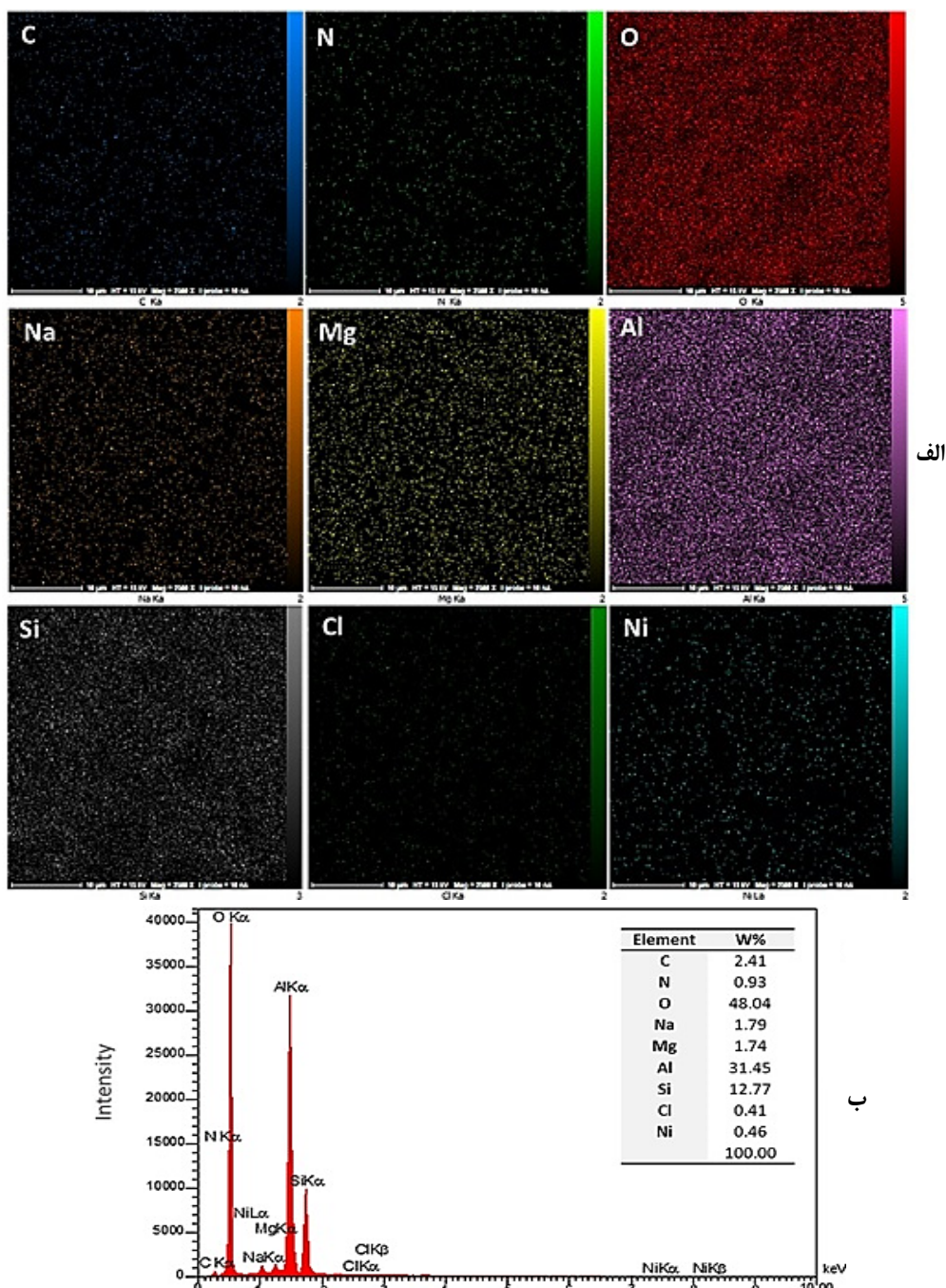
متغیرها به صورت کدهای ± 1 و صفر مطابق طراحی مرکب مرکزی نمادگذاری شدند. جدول ۲ سطوح واقعی و کد شده متغیرها یا عاملهای مورد نظر برای طراحی آزمایش حذف همزمان رنگزای بازی نارنجی ۲ و نیکل (II) را نشان می‌دهد. در جدول ۳ آزمایش‌های طراحی شده برپایه روش

عناصر کربن (C)، نیتروژن (N) و کلر (Cl) پس از فرایند جذب رنگرای بازی نارنجی ۲ بر نانورس اصلاح شده به خوبی جذب رنگرا بر سطح جاذب را تأیید می کند. همچنین، جذب یون های نیکل (II) بر سطح جاذب نانورس اصلاح شده نیز با نمایش دهندن عنصر Ni در طیف EDS و نقشه نگار عنصری نمونه تأیید شده است. بهینه سازی فرایند حذف همزمان در ستون شویش و اجرای طرح مرکب مرکزی

در این مطالعه از یکی از متدائل ترین روش های طراحی آزمایش سطح پاسخ مبتنی بر طرح مرکب مرکزی (CCD) برای بهینه سازی فرایند حذف همزمان رنگرای بازی نارنجی ۲ و نیکل (II) استفاده شد. پنج عامل مورد بررسی در فرایند حذف همزمان آنالیت های موردنظر شامل غلظت رنگ (۱۵ میلی گرم بر لیتر)، غلظت فلز (۵ تا ۱۵ میلی گرم بر لیتر)، pH (۵ تا ۹)، طول ستون شویش (۵ تا ۱۵ سانتی متر) و تعداد چرخه های انجام فرایند شویش (۱ و ۲) هستند که برای طراحی انتخاب شدند. ۴۲ آزمایش برایه طراحی مذکور در جدول ۳ انجام شد و نتیجه ها بر حسب بازده حذف رنگرای بازی نارنجی ۲ و نیکل (II) ارایه شده است.

و سطح ناهمواری دارد [۲۷] و بیانگر این است که جاذب می تواند با فرایند انتشار، مولکول های رنگرا را جذب کند. همچنین، در تصاویر FESEM جاذب نانوموتوریلوبنیت اصلاح شده پس از جذب رنگرا و فلز نیکل (II)، عدم یکنواختی سطح جاذب پس از جذب مشاهده می شود و نشان می دهد که ماهیت متخلخل نانورس اصلاح شده؛ پتانسیل جذب برای هر دو آنالیت رنگ و فلز را افزایش داده است [۲۷].

با روش EDS، ترکیب عنصری جاذب نانورس موتوریلوبنیت اصلاح شده پس از انجام فرایند جذب رنگرای بازی نارنجی ۲ و نیکل (II)، ارزیابی و مشخص شد [۲۸ و ۲۹]. طیف EDS نمونه به همراه نقشه نگاری عنصری از نمونه که چگونگی پراکندگی عناصر در بزرگنمایی بالا را نشان می دهد، در شکل ۳ ارایه شده است. در این شکل، جذب همزمان مخلوط رنگ و نیکل (II) بر نانورس اصلاح شده به خوبی قابل مشاهده است. با توجه به طیف EDS و جدول حاوی درصد هر یک از عناصر که پیوست شکل است؛ می توان دریافت که افزون بر عناصر اصلی تشکیل دهنده نانورس موتوریلوبنیت شامل سیلیکون (Si)، اکسیژن (O) و آلومینیم (Al)، پیک های پدیدار شده برای



شکل ۳ نقشه‌نگار عنصری (الف) و طیف EDS نانورس اصلاح شده پس از جذب همزمان رنگزای بازی نارنجی ۲ و نیکل (II)

جدول ۳ متغیرهای ورودی و پاسخهای مربوط برای طراحی CCD

درصد حذف Niکل (II)	BO2 رنگ	تعداد چرخه‌های شویش (X ₅)	طول ستون شویش (cm) (X ₄)	pH (X ₃)	BO2 غلظت رنگ (mg l ⁻¹) (X ₁)	غلظت Niکل (II) (mg l ⁻¹) (X ₂)	آزمایش
۶۳	۸۵	۱	۱۰	۹	۱۰	۱۰	۱
۴۳	۵۵	۱	۷	۶	۱۳	۱۳	۲
۹۰	۷۵	۱	۱۰	۷	۵	۱۰	۳
۸۰	۹۳	۲	۱۰	۷	۱۰	۱۰	۴
۷۳	۷۹	۲	۷	۶	۱۳	۱۳	۵
۸۲	۹۰	۲	۱۰	۷	۱۰	۱۰	۶
۵۸	۶۶	۱	۱۰	۷	۱۰	۱۰	۷
۷۰	۹۰	۱	۱۰	۷	۱۰	۵	۸
۴۸	۵۶	۱	۱۰	۷	۱۰	۱۰	۹
۹۵	۹۸	۲	۷	۸	۷	۷	۱۰
۷۵	۹۱	۱	۱۳	۸	۱۳	۷	۱۱
۶۶	۶۹	۲	۱۰	۵	۱۰	۱۰	۱۲
۴۱	۶۱	۱	۱۰	۷	۱۵	۱۰	۱۳
۴۸	۵۶	۱	۱۰	۷	۱۰	۱۰	۱۴
۸۵	۷۰	۱	۱۳	۶	۷	۱۳	۱۵
۷۰	۸۴	۱	۱۳	۶	۱۳	۷	۱۶
۸۰	۸۹	۱	۷	۶	۷	۷	۱۷
۱۰۰	۱۰۰	۲	۱۳	۶	۷	۱۳	۱۸
۵۷	۶۹	۲	۱۰	۷	۱۵	۱۰	۱۹
۸۲	۹۰	۲	۱۰	۷	۱۰	۱۰	۲۰
۹۱	۱۰۰	۲	۱۰	۷	۱۰	۵	۲۱
۱۰۰	۱۰۰	۲	۱۵	۷	۱۰	۱۰	۲۲
۶۰	۷۱	۱	۱۰	۵	۱۰	۱۰	۲۳
۹۲	۱۰۰	۱	۷	۸	۷	۷	۲۴
۶۳	۷۸	۲	۷	۸	۱۳	۱۳	۲۵
۵۷	۸۸	۲	۱۳	۶	۱۳	۷	۲۶
۷۵	۹۰	۲	۱۳	۸	۱۳	۷	۲۷
۹۷	۸۶	۱	۱۳	۸	۷	۱۳	۲۸
۸۲	۹۰	۲	۱۰	۷	۱۰	۱۰	۲۹
۷۹	۸۵	۱	۱۵	۷	۱۰	۱۰	۳۰
۹۰	۹۵	۲	۷	۶	۷	۷	۳۱
۴۵	۶۲	۱	۵	۷	۱۰	۱۰	۳۲

ادامه جدول ۳ متغیرهای ورودی و پاسخهای مربوط برپایه طراحی CCD

درصد حذف رنگ (II) BO2	درصد حذف نیکل (II) BO2	تعداد چرخه‌های شویش (X ₅)	طول ستون شویش (cm) (X ₄)	pH (X ₃)	BO2 (mg l ⁻¹) (X ₁)	غلظت رنگ (II) (mg l ⁻¹) (X ₂)	ازمایش
۵۱	۶۴	۲	۵	۷	۱۰	۱۰	۳۳
۱۰۰	۸۷	۲	۱۰	۷	۵	۱۰	۳۴
۴۱	۵۰	۱	۱۰	۷	۱۰	۱۵	۳۵
۶۸	۹۰	۲	۱۰	۹	۱۰	۱۰	۳۶
۸۴	۷۹	۲	۱۳	۸	۷	۱۳	۳۷
۵۸	۶۶	۱	۱۰	۷	۱۰	۱۰	۳۸
۴۰	۵۲	۱	۷	۸	۱۳	۱۳	۳۹
۸۰	۹۳	۲	۱۰	۷	۱۰	۱۰	۴۰
۸۰	۷۶	۲	۱۰	۷	۱۰	۱۵	۴۱
۵۴	۶۲	۱	۱۰	۷	۱۰	۱۰	۴۲

ارایه مدل مناسب و اعتبارسنجی آن

در معادله ۳ Y_1 پاسخ درصد حذف رنگزایی بازی نارنجی ۲، $+71/26$ مقدار عددی ثابت معادله، X_1 مربوط به متغیر غلظت رنگزایی بازی نارنجی ۲ و $-13/90$ مقدار عددی ضریب ثابت آن، X_2 مربوط به متغیر غلظت نیکل (II) و $-4/23$ مقدار عددی ضریب ثابت آن، X_3 مربوط به متغیر pH و $+1/23$ مقدار عددی ضریب ثابت آن، X_4 مربوط به متغیر طول ستون شویش و $+7/51$ مقدار عددی ضریب ثابت آن و X_5 مربوط به متغیر تعداد سیکل‌های شویش و $+7/60$ مقدار عددی ضریب ثابت آن است.

در معادله ۴ Y_2 پاسخ درصد حذف فلز نیکل (II)، $+79/29$ مقدار عددی ثابت معادله، X_1 مربوط به متغیر غلظت رنگزایی بازی نارنجی ۲ و $-5/60$ مقدار عددی ضریب ثابت آن، X_2 مربوط به متغیر غلظت نیکل (II) و $-8/87$ مقدار عددی ضریب ثابت آن، X_3 مربوط به متغیر pH و $+3/12$ مقدار عددی ضریب ثابت آن، X_4 مربوط به متغیر طول ستون شویش و $+5/13$ مقدار عددی ضریب ثابت آن و X_5 مربوط به متغیر تعداد سیکل‌های شویش و $+7/29$ مقدار عددی ضریب ثابت آن است.

در روش CCD می‌توان با داده‌های به دست آمده از آزمایش‌های طراحی شده، مدل سازی ریاضی را انجام داد. در این روش یک معادله چندجمله‌ای ارتباط بین پاسخ و متغیرها را برقرار می‌کند. بنابراین، با توجه به نتیجه‌ها و پیشنهاد نرم‌افزار، با انجام تحلیل واپاشی، داده‌های حذف همزمان با معادله‌های چندجمله‌ای مقایسه شد و معادله‌های ۳ و ۴ به دست آمده مدل‌های چندجمله‌ای برای پیش‌بینی بازده حذف به دست آمده برای هر یک از آنالیت‌ها در فرایند حذف همزمان رنگزایی بازی نارنجی ۲ و فلز نیکل (II) در سامانه شویش پیوسته را ارایه می‌دهند.

$$Y_1 = +71/26 - 13/90 X_1 - 4/23 X_2 + 1/23 X_3 + 7/51 X_4 + 7/60 X_5 \quad (3)$$

$$(R^2 = 0.73)$$

$$Y_2 = +79/29 - 5/60 X_1 - 8/87 X_2 + 3/12 X_3 + 5/13 X_4 + 7/29 X_5 \quad (4)$$

$$(R^2 = 0.66)$$

میانگین مربع‌های مربوط به مدل و خط) دارای بالاترین تأثیر بوده و در سطح اطمینان ۹۵ درصد، معنی‌دار است، متغیر pH با مقدار F پایین، تأثیر کمتری را از خود نشان - می‌دهد و ضعف بر برآذش مدل پیشنهادی در سطح اطمینان ۹۵٪ بی‌معنی است. متغیر طول ستون با توجه به مقدار F برای آن تأثیری بیشتری نسبت به متغیرهای غلظت نیکل و pH دارد. متغیر تعداد شویش با توجه به مقدار F برابر با pH دارد. متغیر pH در سطح اطمینان ۹۵ درصد معنی‌دار است.

تحلیل وردایی (ANOVA) برای ارزیابی اعتبار مدل‌ها تحلیل وردایی انجام شد. نتیجه‌های تحلیل وردایی برای پاسخ درصد حذف رنگزای بازی نارنجی ۲ و Ni (II) به ترتیب در جدول‌های ۴ و ۵ ارایه شده است. معنی‌داری هر عامل با مقدارهای F و P تعیین شده است. مقدارهای P کوچکتر و F بزرگتر بیانگر معنی‌داری بیشتر هستند. برپایه جدول ۴ نتیجه‌های تحلیل وردایی، حذف رنگزای در سطح اطمینان ۹۵ درصد ($P < 0.05$) معنی‌دار است. متغیر غلظت رنگ با بالاترین مقدار F (نسبت

جدول ۴ نتیجه‌های تحلیل وردایی در مدل پیش‌بینی‌کننده بازده حذف رنگزای بازی نارنجی ۲

منبع	F	مقدار	P	مجموع مربعات	درجه آزادی
مدل	۱۹.۵۲	> 0.0001	۹۸۴۱.۱۲	۵	
غلظت رنگ	۵۲.۹۳	> 0.0001	۵۳۳۵.۵۸	۱	
غلظت نیکل (II)	۴۹۰	0.۰۳۳۴	۴۹۳.۴۸	۱	
pH	۰.۳۴	0.۵۶۴۸	۲۴.۰۳	۱	
طول ستون شویش	۱۵.۴۳	0.۰۰۰۴	۱۵۵۵.۱۵	۱	
تعداد چرخه‌های شویش	۲۴.۰۴	> 0.0001	۲۴۲۲.۸۸	۱	
باقي‌مانده خطای*	-	-	۶۰۵۱.۸۸	۳۷	
نیود برآذش	۰.۶۹	0.۷۴۴۵	۱۵۰۷.۷۸	۱۲	**

* Residual error

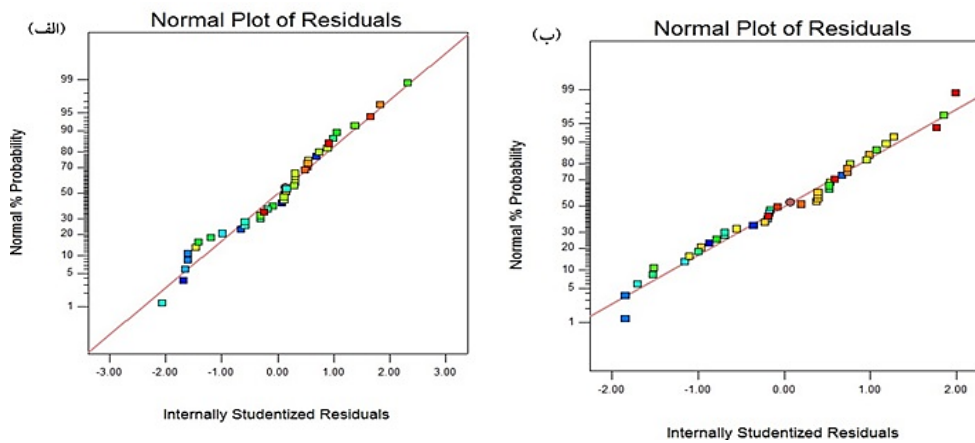
** Lack-of-fit

جدول ۵ نتیجه‌های تحلیل وردایی و متغیرها در مدل پیش‌بینی‌کننده بازده حذف فلز نیکل (II)

منبع	F	مقدار	P	مجموع مربعات	درجه آزادی
مدل	۱۵.۶۸	> 0.0001	۶۲۱۵.۶۰	۵	
غلظت رنگ	۱۰.۹۴	0.۰۰۲۱	۸۶۷.۲۱	۱	
غلظت نیکل (II)	۲۷.۳۹	> 0.0001	۲۱۷۲.۰۷	۱	
pH	۲.۷۸	0.۱۰۴۱	۲۲۰.۵۰	۱	
طول ستون شویش	۹.۱۶	0.۰۰۴۵	۷۲۶.۴۰	۱	
تعداد چرخه‌های شویش	۲۸.۱۱	> 0.0001	۲۲۲۹.۴۳	۱	
باقي‌مانده خطای	-	-	۵۰۸۴.۴۰	۳۷	
نیود برآذش	۰.۴۹	0.۸۹۹۶	۹۷۲.۸۰	۱۲	

داده‌های آزمایشگاهی است. لازم به ذکر است که مقدار R^2 نشان‌دهنده درصدی از وردابی پاسخ است که از وردابی متغیرهای مستقل ناشی می‌شود. برای مدل‌های بهدست‌آمده (معادله‌های ۲ و ۳)، مقدار R^2 برای پاسخ‌های درصد حذف رنگزای بازی نارنجی ۲ و نیکل (II) به ترتیب برابر با ۰،۷۳ و ۰،۶۶ است. افزون‌براین، مقدار R^2 تعدیل یافته (R^2_{adj}) نیز برای هر دو پاسخ حذف رنگزای بازی نارنجی ۲ و نیکل (II) به ترتیب برابر با ۰،۷۰ و ۰،۶۴ بهدست آمد که نشان‌دهنده همخوانی خوب مدل با داده‌های تجربی است. تحلیل مقدار باقی‌مانده‌ها برای اطمینان از کفايت مدل لازم است. نمودارهای مربوط در شکل ۴ نشان‌داده شده است.

برایه جدول ۵، از نظر آماری برای مدل، حذف فلز نیکل در سطح اطمینان ۹۵ درصد معنی‌دار است. معنی‌دارنودن مقدار ضعف بر بازش ($p < 0.05$) نشان‌دهنده برآش خوب مدل پیش‌بینی شده است. متغیر غلظت نیکل (II) با مقدار F برابر ۲۷/۳۹ و مقدار P کمتر از ۰،۰۰۰۱ دارای تأثیر بوده در سطح اطمینان ۹۵٪ معنی‌دار است. همچنین، متغیر تعداد شویش با توجه به مقدار F برابر با ۲۸/۱۱ و مقدار P کمتر از ۰،۰۰۰۱ معنی‌دار است. متغیر طول ستون شویش نیز با توجه به مقدار F برای آن، تأثیر کمتری نسبت به متغیرهای غلظت نیکل و تعداد چرخه‌های شویش دارد. مقایسه مدل با داده‌های تجربی با ضریب R^2 نیز قابل تشخیص است. به عبارت دیگر، مقدارهای بالای R^2 نشان‌دهنده همخوانی خوب مدل با



شکل ۴ تحلیل باقی‌مانده‌ها با توجه به پاسخ بهدست‌آمده از درصد حذف رنگزای بازی نارنجی ۲ (الف) و نیکل (II) (ب)

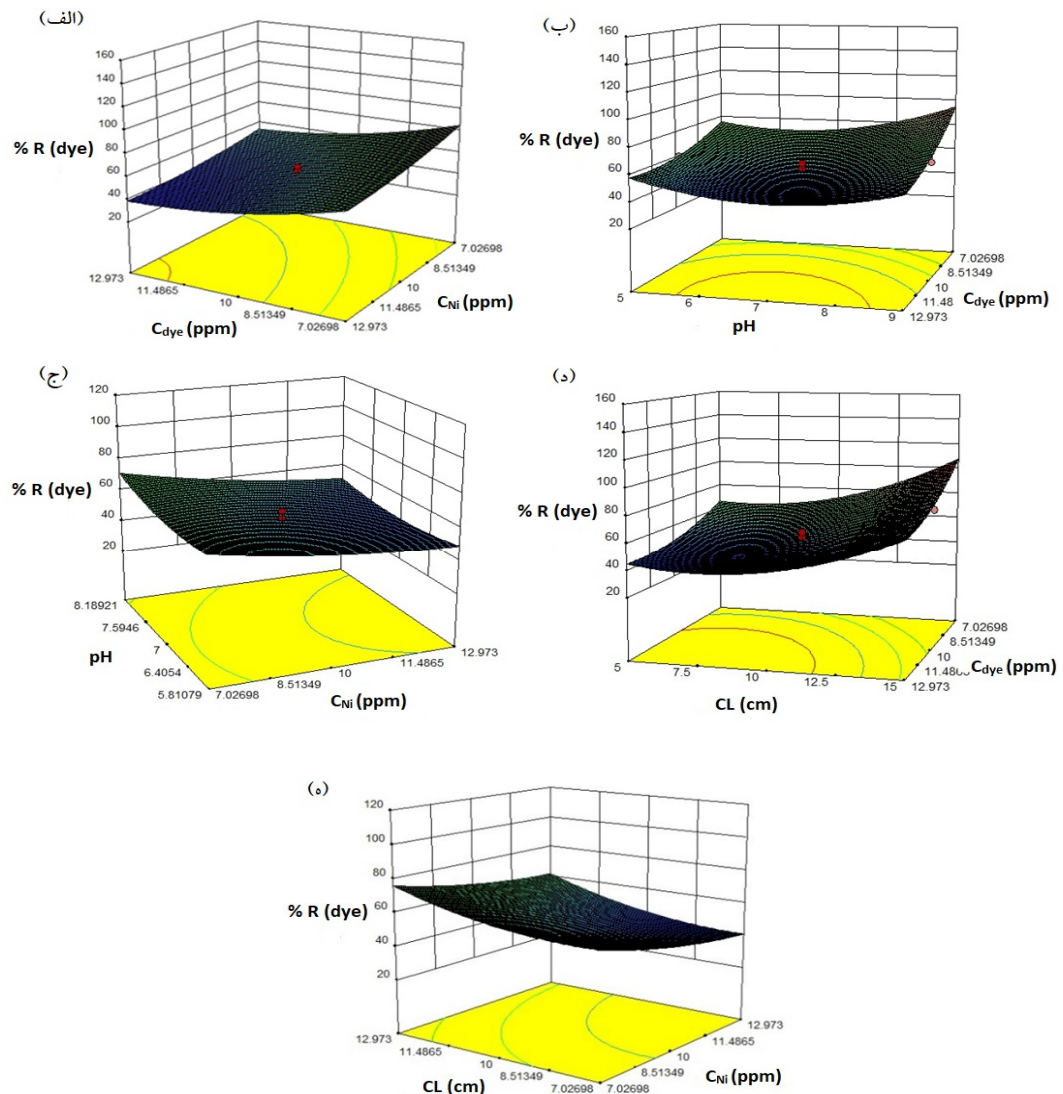
(سطح مرکزی) برای درک دقیق اثرات مستقیم و برهم‌کنشی متغیرها بسیار مؤثراند. نتیجه‌های تحلیل وردابی و نمودارهای سطح‌پاسخ نشان می‌دهد که اثراتی که مقدار P آن‌ها کمتر از ۰،۰۵ باشد، معنی‌دار هستند و از روی سطوح می‌توان تشخیص داد که کدام عوامل در حذف همزمان رنگزای بازی نارنجی ۲ و Ni(II) نسبت به هم برهم‌کنش شدیدتری دارند. با توجه به مدل، می‌توان دریافت که افزایش

بررسی تأثیر عامل‌های مؤثر بر فرایند حذف همزمان رنگزای بازی نارنجی ۲ و نیکل (II) با نمودارهای سطح‌پاسخ سطوح سه‌بعدی (3D) توضیحات نموداری معادله وایاژش برای بهینه‌سازی شرایط حذف همزمان آنالیت‌ها را ارایه می‌دهد و مفیدترین ابزار برای تحلیل هر متغیر و تغییر پاسخ هستند. نمودارهای سه‌بعدی سطح‌پاسخ به عنوان تابعی از دو متغیر با ثابت نگهداشت سایر متغیرها در سطوح ثابت

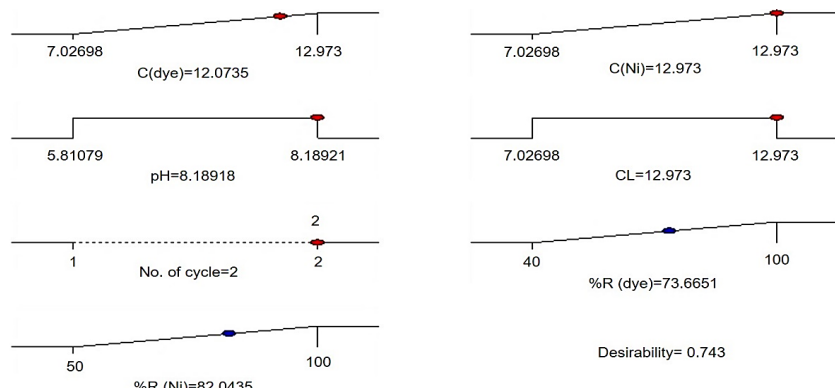
نارنجی ۲ به طور چشمگیری افزایش می‌یابد. با افزایش طول ستون جداسازی و دربی آن، افزایش تعداد گویهای جاذب‌اندود در ستون شیشه‌ای جذب، مکان‌های فعل جذب برای جذب مولکول‌های رنگزای بر جاذب افزایش می‌یابد که موجب افزایش بازده حذف می‌شود. با بررسی اثر همزمان غلظت نیکل (II) و افزایش طول ستون شویش (شکل ۵-۵) می‌توان مشاهده کرد که افزایش بازده حذف با افزایش غلظت نیکل (II) با شبیه ملایمتری رخ داده است.

بهینه‌سازی همزمان چند پاسخ با استفاده از تابع مطلوب‌بودن تابع مطلوبیت رایج‌ترین روش برای مواردی است که در آن‌ها چند پاسخ متفاوت وجود دارد و لازم است شرایط به‌گونه‌ای انتخاب شود که همزمان همه پاسخ‌ها بهینه شوند. مقدار مطلوب‌بودن به‌دست‌آمده از فرایند بهینه‌سازی نشان‌دهنده مدل تجربی و شرایط موردنظر است و کستره آن از صفر تا یک است که هر چه به یک نزدیک‌تر باشد، نشان‌دهنده نزدیکی پاسخ به مقدار ایده‌آل و مناسب‌بودن فرایند بهینه‌سازی است. هدف اصلی این مطالعه پیدا کردن شرایط بهینه متغیرهای درگیر در فرایند برای به بیشینه‌رساندن کارایی حذف همزمان رنگزای بازی نارنجی ۲ و (II) Ni با مدل‌های ریاضی است. با توجه به توضیحات، بیشینه بازده حذف همزمان رنگزای بازی نارنجی ۲ و Ni(II) با جاذب نانورس اصلاح‌شده در سامانه شویش پیوسته به ترتیب ۷۳/۶۶٪ و ۸۲/۰۴٪ در شرایط غلظت رنگ ۱⁻ mg pH ۱۲/۹۷ و فلز ۱⁻ mg ۱۲/۰۷ ایجاد شده است. طول ستون شویش ۱۲/۹۷ cm و اجرای ۲ چرخه شویش با مقدار مطلوب‌بودن ۰/۷۴۳ است که در شکل ۶ نشان داده شده است. نمودار مطلوب‌بودن سطح‌پاسخ و همچنین، نمودارهای دو بعدی کانتور (contour) مربوط به مقدار کارایی حذف همزمان رنگزای بازی نارنجی ۲ و (II) Ni در شکل ۷ ارایه شده است.

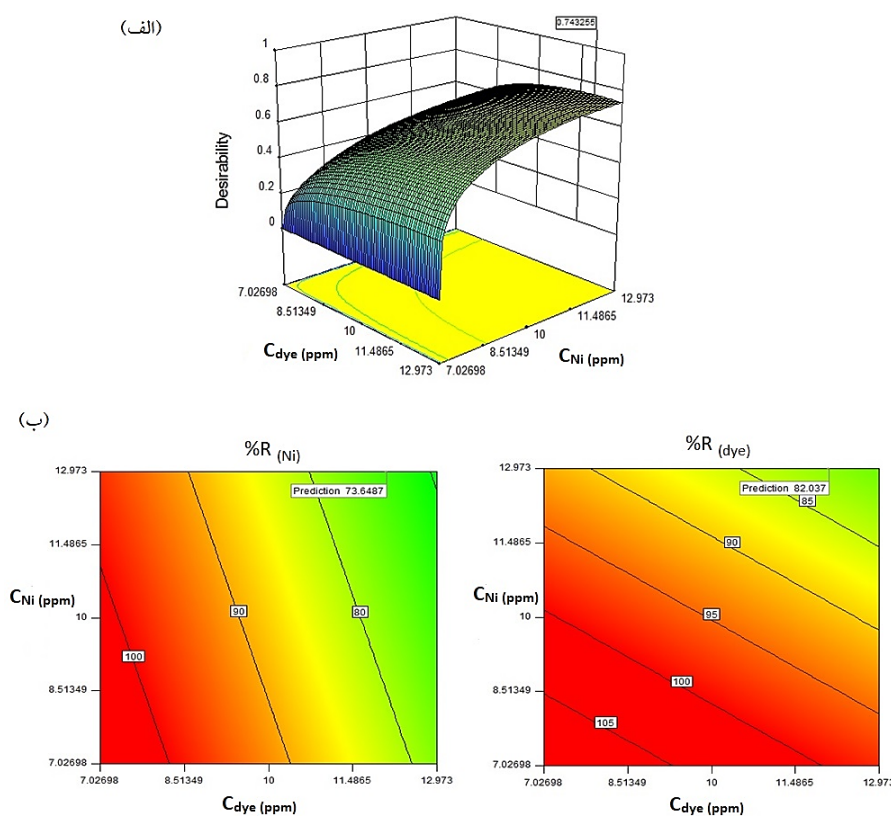
غلظت رنگزای و (II) Ni اثر منفی بر بازده حذف دارد. به عبارت دیگر، درصد حذف رنگ با مقدار هر دو متغیر غلظت رنگزای بازی نارنجی ۲ و غلظت (II) Ni رابطه معکوس دارد. زمانی که غلظت هر دو آنالیت در بالاترین سطح است؛ کمترین حذف صورت می‌گیرد. همان‌طور که مشاهده می‌شود، زمانی که در نمودار سطح‌پاسخ شکل ۶-الف به صورت قطری در سطح نمودار حرکت کنیم، با یک شیب از بازده ۴۰٪ به حدود ۸۰٪ می‌رسیم که دلیل این روند همزمان بودن فرایند حذف آنالیت‌ها است، چرا که نقش رقابتی بین دو آنالیت برای جذب بر جاذب نانورس اصلاح‌شده با اهمیت است و در زمان غلظت بیشینه، توان ظرفیت جذب جاذب کاهش می‌یابد ولی با کاهش غلظت یکی از آنالیت‌ها به عنوان متغیر، ظرفیت جذب جاذب بیشینه می‌شود. با توجه به شکل ۵-ب با حرکت بر نمودار سطح‌پاسخ به سمت pH‌های بازی، درصد حذف رنگزای تا حدودی افزایش می‌یابد و این افزایش به دلیل توان بالای کارایی جاذب اصلاح‌شده در حالت قلیایی است. به‌طوری که با افزایش ویژگی بازی و افزایش یون‌های OH⁻ برهمنکش الکترواستاتیک میان نانوجاذب موتتموریلوبنیت اصلاح‌شده و گونه رنگزای بازی قوی‌تر و موجب افزایش بازده حذف می‌شود. به‌طورکلی، بالاترین منطقه حذف رنگ در pH‌های قلیایی و در کمترین غلظت رنگزای است. این نتیجه برای حذف غلظت نیکل (II) نیز قابل مشاهده است (شکل ۵-ج). با توجه به نمودار می‌توان دریافت که بازده حذف نیکل در pH‌های بالاتر نیز افزایش یافته است، ولی در مقایسه با رنگزای، این افزایش با شبیه ملایمتر و درصد حذف کمتری اتفاق می‌افتد. به بیان دیگر، می‌توان گفت که در حذف همزمان رنگزای و نیکل (II) در ستون شویش، در رقابت بین مولکول‌های با بار مثبت برای جذب بر سطح جاذب، مولکول‌های رنگ سریع‌تر مکان‌های جذب را اشغال کرده‌اند. همان‌طور که در نمودار سطح‌پاسخ شکل ۶-د مشاهده می‌شود، با افزایش طول ستون بازده حذف رنگزای بازی



شکل ۵ نمودارهای سطحپاسخ تأثیر متغیرهای مستقل بر حذف همزمان رنگزای بازی نارنجی ۲ و نیکل (II): غلظت رنگزا در مقابل غلظت Ni(II) (الف)، غلظت رنگزا در مقابل pH Ni(II) (ب)، غلظت رنگزا در مقابل طول ستون شویش (ج)، غلظت رنگزا در مقابل طول ستون شویش (د) و غلظت Ni(II) در مقابل طول ستون شویش (ه)



شکل ۶ نمودارهای مطلوب‌بودن برای بهینه‌سازی متغیرهای مؤثر بر حذف هم‌زمان رنگزای بازی نارنجی ۲ و Ni (II)



شکل ۷ نمودارهای مطلوب‌بودن سطح‌پاسخ (سه بعدی) (الف) و طرح کانتور (دو بعدی) (ب) برای بررسی مقدار کارایی حذف هم‌زمان رنگزای بازی نارنجی ۲ و Ni (II) در سامانه پیوسته برای نشان دادن اثر متقابل غلظت رنگزا در مقابل غلظت Ni (II)

نارنجی ۲ افزایش می‌یابد. بازده حذف نیکل در pHهای بالاتر نیز افزایش یافته است، ولی در مقایسه با رنگزای این افزایش با شبیه مالایم‌تر و درصد حذف کمتری اتفاق می‌افتد. با توجه به نتیجه‌ها، مقدار بهینه برای پنج متغیر غلظت رنگ، غلظت فلز، pH، طول ستون شویش و تعداد چرخه‌های انجام فرایند شویش به ترتیب برابر با 1^{-1} , 12.07 mg l^{-1} , 12.97 cm^{-1} و 2 بار شویش بود. بیشینه بازده حذف هم زمان رنگزای بازی نارنجی ۲ و (II) Ni با جاذب نانورس٪ اصلاح شده با شرایط بهینه عامل‌ها به ترتیب برابر با 73.66% ، 82.04% بوده و مقدار مطلوب‌بودن در فرایند بهینه‌سازی 0.743 بدست آمد.

برپایه نتیجه‌های به دست آمده در این پژوهش، فرایند حذف رنگزای بازی نارنجی ۲ و فلز نیکل (II) در سامانه شویش پیوسته با به کارگیری نانوجاذب مونتموریلوئیت اصلاح شده می‌تواند به طور مؤثری برای جذب آلاینده‌ها در محیط‌های آبی کارآمد باشد و در نهایت اجرای صنعتی و تلفیق آن با سایر روش‌های تصفیه آب برای بازگردانی به چرخه تولید پیشنهاد می‌شود.

سپاسگزاری

این پژوهش با مساعدت و همکاری شرکت میخک نسج تهران صورت گرفته است و بدين‌وسیله از این شرکت قدردانی می‌شود. همچنین، از دانشگاه آزاد اسلامی واحد اراک تشكر و قدردانی می‌شود.

نتیجه‌گیری

در این مطالعه، بهینه‌سازی و مدل‌سازی فرایند حذف همزمان رنگزای بازی نارنجی ۲ و فلز نیکل (II) با استفاده از نانوجاذب مونتموریلوئیت اصلاح شده در سامانه پیوسته با به کارگیری و طراحی یک ستون شویش با کارکرد پیوسته بررسی شد. با به کارگیری طراحی آزمایش به شیوه سطح‌پاسخ (RSM) و با اجرای طرح مرکزی (CCD)، ۴۲ آزمایش با درنظرگرفتن پنج عامل مؤثر بر بازده حذف شامل غلظت رنگزای، غلظت نیکل (II)، pH، طول ستون شویش و تعداد چرخه‌های انجام فرایند شویش به عنوان متغیرهای مستقل، طراحی شد. نتیجه‌ها با تحلیل وردایی (ANOVA)، مدل‌سازی و رسم نمودارهای سطح‌پاسخ ارزیابی شدند. مدل‌های به دست آمده برای پیش‌بینی بازده حذف هر یک از آنالیتها در فرایند حذف همزمان رنگزای بازی نارنجی ۲ و فلز نیکل (II) در سامانه پیوسته مقدارهای بالای R^2 را نشان داد که بیانگر همخوانی خوب مدل با داده‌های آزمایشگاهی و کارایی مفید روش سطح‌پاسخ در بهینه‌سازی فرایند جذب همزمان آنالیتها بر جاذب است. با توجه به مدل‌های ارایه شده و نمودارهای سطح‌پاسخ، مشاهده شد که درصد حذف رنگ با مقدار هر دو متغیر غلظت رنگزای بازی نارنجی ۲ و غلظت (II) Ni رابطه معکوس دارد. همچنین، افزایش pH، طول ستون شویش و افزایش دفعات شویش با بازده حذف آلاینده‌ها نسبت مستقیم دارد. افزون بر آن، با افزایش طول ستون، بازده حذف رنگزای بازی

مراجع

- [1] Gamoudi, S.; Srasra, E.; J. Mol. Struct. 1193, 522-531, 2019.
- [2] Berradi, M.; Hsissou, R.; Khudhair, M.; Assouag, M.; Cherkaoui, O.; El Bachiri, A.; El Harfi, A.; Heliyon 5, e02711 2019.
- [3] Pimol, P.; Khanidtha, M.; Prasert, P.; J. Environ. Sci. 20, 760-768, 2008.
- [4] Salleh, M.A.M.; Mahmoud, D.K.; Karim, W.A.W.A.; Idris, A.; Desalination 280, 1-13, 2011.
- [5] Vieira, R.M.; Vilela, P.B.; Becegato, V.A.; Paulino, A.T.; J. Environ. Chem. Eng. 6, 2713-2723, 2018.

- [6] Hisada, M.; Tomizawa, Y.; Kawase, Y.; J. Environ. Chem. Eng. 7, 103157, 2019.
- [7] Hajiaghbabaei, L.; Abozari, S.; Badiei, A.; Zarabadi Poor, P.; Dehghan Abkenar, S.; Ganjali, M.R.; Mohammadi Ziarani, G.; Iran. J. Chem. Chem. Eng. 36, 97-108, 2017.
- [8] Gunatilake, S.; Methods 1, 14, 2015.
- [9] Li, F.; Huang, J.; Xia, Q.; Lou, M.; Yang, B.; Tian, Q.; Liu, Y.; Sep. Purif. Technol. 195, 83-91, 2018.
- [10] Rodrigues Pires da Silva, J.; Merçon, F.; Guimarães Costa, C.M.; Radoman Benjo, D.; Desalin. Water Treat. 57, 19466-19474, 2016.
- [11] Shen, C.; Pan, Y.; Wu, D.; Liu, Y.; Ma, C.; Li, F.; Ma, H.; Zhang, Y.; Chem. Eng. J. 374, 904-913, 2019.
- [12] Hassan, M.M.; Carr, C.M.; Chemosphere 209, 201-219, 2018.
- [13] Yagub, M.T.; Sen, T.K.; Afrose, S.; Ang, H.M.; Adv. Colloid Interface Sci. 209, 172-184, 2014.
- [14] Adeyemo, A.A.; Adeoye, I.O.; Bello, O.S.; Appl. Water Sci. 7, 543-568, 2017.
- [15] Uddin, F.; Metall. Mater. Trans. A 39, 2804-2814, 2008.
- [16] Mukherjee, S.; “The Science of Clays”, Springer, Dordrecht, 2013.
- [17] Uddin, M.K.; Chem. Eng. J. 308, 438-462, 2017.
- [18] Murray, H.H.; Appl. Clay Sci. 17, 207-221, 2000.
- [19] Kausar, A.; Iqbal, M.; Javed, A.; Aftab, K.; Bhatti, H.N.; Nouren, S.; J. Mol. Liq. 256, 395-407, 2018.
- [20] Mahvi, A.H.; Dalvand, A.; Water Qual. Res. J. 55, 132-144, 2020.
- [21] Almeida, C.; Debacher, N.; Downs, A.; Cottet, L.; Mello, C.; J. Colloid Interface Sci. 332, 46-53, 2009.
- [22] Xu, D.; Zhou, X.; Wang, X.; Appl. Clay Sci. 39, 133-141, 2008.
- [23] Bezerra, M.A.; Santelli, R.E.; Oliveira, E.P.; Villar, L.S.; Escalera, L.A.; Talanta 76, 965-977, 2008.
- [24] Chelladurai, S.J.S.; Murugan, K.; Ray, A.P.; Upadhyaya, M.; Narasimharaj, V.; Mater. Today: Proc. 37, 1301-1304, 2021.
- [25] Karimifard, S.; Moghaddam, M.R.A.; Sci. Total Environ. 640, 772-797, 2018.
- [26] Nair, A.T.; Makwana, A.R.; Ahammed, M.M.; Water Sci. Technol. 69, 464-478, 2014.
- [27] Geroeyan, A.; Niazi, A.; Konoz, E.; Water Sci. Technol. 83, 2271-2286, 2021.
- [28] Batista, A.; Melo, V.; Gilkes, R.; Appl. Clay Sci. 135, 447-456, 2017.
- [29] Rao, R.A.K.; Kashifuddin, M.; Arabian J. Chem. 9, S1233-S1241, 2016.

Investigation of simultaneous removal of Basic Orange 2 dye and Ni (II) from aqueous solutions by modified nanoclay in a continuous washing system using response surface methodology (RSM)**A. Geroeeyan¹, A. Niazi^{2,*}, E. Konoz³**

1. PhD Student of Analytical Chemistry, Department of Chemistry, Arak Branch, Islamic Azad University, Arak, Iran.
2. Professor of Analytical Chemistry, Department of Chemistry, Central Tehran Branch, Islamic Azad University, Tehran, Iran.
3. Associate Prof. of Analytical Chemistry, Department of Chemistry, Central Tehran Branch, Islamic Azad University, Tehran, Iran.

Abstract: In the present study, the removal of Basic Orange 2 (BO2) dye and Ni (II) from aqueous solutions was studied using modified montmorillonite nanoclay (MMT). To characterize the adsorbent, FESEM and EDS-Mapping analyses were performed. The removal of pollutants was investigated through the designing and fabrication of a continuous washing system. The effect of important variables influencing the process such as concentration of the dye and Ni (II), pH, length of column, and the number of washing cycles was evaluated. Response surface methodology (RSM) using central composite design (CCD) was applied to study the influence of experimental factors on the simultaneous removal of BO2 dye and Ni (II) in the continuous system. The interaction of the variables were scrutinized through response surface curves. According to RSM results and optimization of simultaneous removal of BO2 dye and Ni (II) using desirability function, the optimal values for the five variables of dye concentration, Ni (II) concentration, pH, length of column, and number of washing cycles were found as 12.07 mg l⁻¹, 12.97 mg l⁻¹, 8.18, 12.97 cm, and 2, respectively. The results of the removal of BO2 dye and Ni (II) in the continuous washing system using modified montmorillonite nanoclay showed that this method could be efficient for the adsorption of pollutants from aqueous solutions.

Keywords: Montmorillonite nanoclay, Basic Orange 2, Ni (II), Response surface methodology, Continuous washing system.

* Corresponding author Email:

iauctb.ac.irAli.niazi@